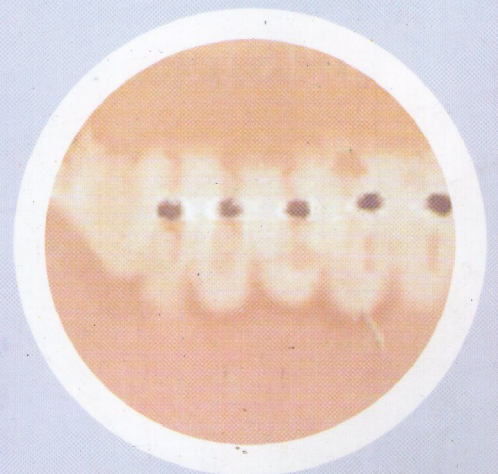
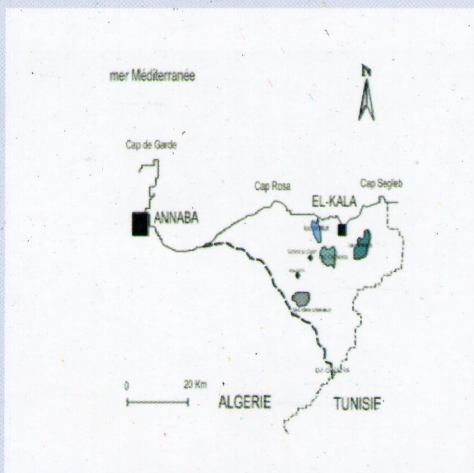
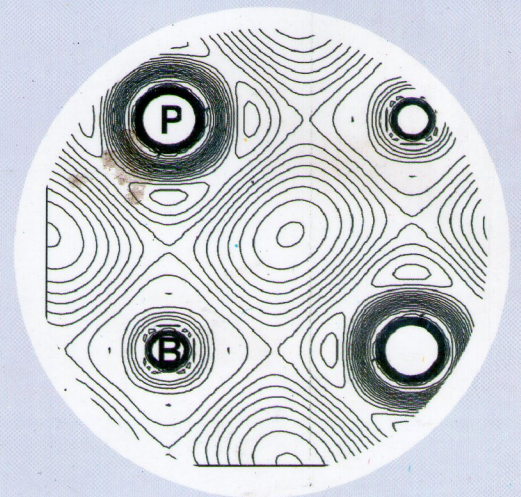
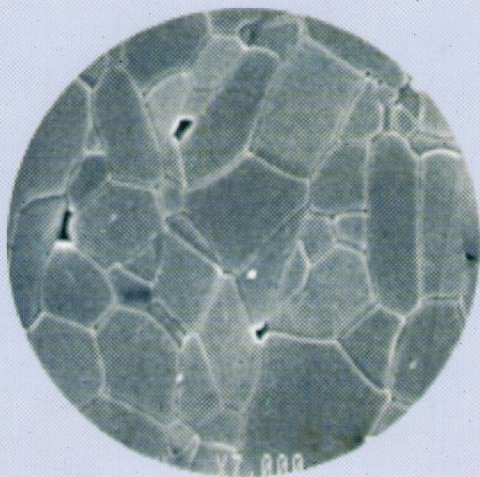


Synthèse

N. 15 JUIN
DECEMRE
2006



Sommaire

Section A

- First- principle calculations of electronic properties of boron compounds bas, bp and bsb.**
S. Ghemid, H. Meradji, H. Belkhir, B. Belfarhi, S. Drablia, D. Heciri, L. Beldi, B. Abbar
& B. Bouhafis 1
- Characterization of alumina by Hertzian indentation and r-curve**
S. Bouras, I. Zerizer, F. Gheldane, M.T. Bouazza, Y. Berriche 8

Section B

- Etude palynologique des marais tourbeux du complexe humide d'el-kala : « cas de Bourdim (alt. 12m) et de Gareat el-Ouez (alt. 45m) »** 13
M. Benslama & H. Zanache
- Recherche d'enzymes pectinolytiques chez cinq souches de streptomyces isolées d'un sol saharien (Biskra)** 21
B. Saoudi, D. Kirane, Z. Taibi & A. Ladjama
- Détermination du niveau de pollution par les oxydes de soufre et d'azote dans la région d'Annaba : rapport avec les données météorologiques** 32
A. Tadjine & N. Soltani
- Effet de la manipulation expérimentale des nichées de Mésange bleue *Parus caeruleus ultramarinus* sur les paramètres morphologiques et hématologiques des poussins dans les chênaies sempervirentes du Parc National d'El-Kala.** 38
N. Ziane & Y. Chabi
- Effets du stress post-traumatique et de la depression sur les interactions immunoendocriniennes.** 45
H. Frih, K. Ouali, A. Bairi, M. Guellati & P. Siaud

Section C

- Contribution a l'identification des variables écologiques déterminantes dans le processus de dégradation de la steppe : Cas de la region de naama (sud ouest algerie)** 53
A. Labani, T. Bouchtata & K. Benabdeli

Section D

- Fast and efficient fem analysis of E and H plane waveguide bends discontinuities** 65
K. Nouri & M. Feham
- An analytical approach to the complete moment-curvature curve of rectangular reinforced concrete columns** 71
R. Hachem & B. Bousalem
- Etude expérimentale de poutres reconstituées de plats et de tôles pliées** 85
Y. Hadidane, C. Djouini & K. Djeghaba

| | |
|---|-----|
| Modélisation bidimensionnelle de la phase de remplissage des moules M. Hecini & H. Benmoussa | 91 |
| Modélisation de la conduction a travers les parois de la chambre de combustion d'un moteur à combustion interne R. Zaâmouche, M. Kadja, A. Merabet & O. Kolai | 98 |
| Optimisation des Echanges thermiques en convection forcée au niveau d'un échangeur a ailette M. Guemmadi, R. Aggoun & A. Gahmousse | 103 |
| Analyse et synthèse des défaillances simultanées au stator et au rotor des moteurs asynchrones. S. Bouras, A. Guedri | 107 |
| Correction du déséquilibre dynamique dans les installations de descente à câble S. Tolba , S. Saad & S. Bouras | 114 |
| Influence des traitements mécaniques de surface sur la rugosité, la dureté et la résistance a l'usure d'un acier rb40 H. Hamadache , L. Laouar & K. Chaoui | 120 |